

## 相関のある拡散過程の確率論的解析

大分工業高等専門学校 正会員 島田 晋

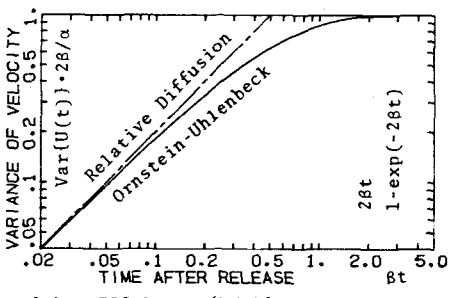
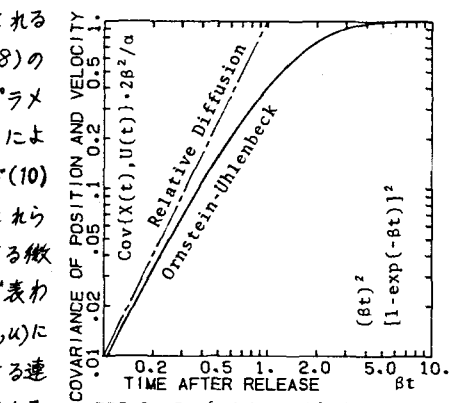
**§1. まえがき** 水域等における混合現象の解明には、まず水域における流動特性を知ることが重要であるが、ここでは流体粒子の速度の確率分布が正規分布で与えられる二つのガウス過程について、確率過程として解析され、確率方程式と拡散方程式との対応が示される。ガウス過程は結合正規であるので、位置と速度に関する平均と分散・共分散の経時変化が求められる。最初の例では速度が Wiener-Lévy (プラウン運動) 過程に従い、リチャードソンの  $4/3$ 乗則として知られる相対拡散模型が構成される。次の例は粒子の速度に比例する抵抗が働くマルコフ型の相関を有する場合であり、Langevin方程式に基づいて Ornstein-Uhlenbeck 過程とよばれている現象が解析される。そして Lagrange のスペクトル関数についても言及され、確率過程に対する物理的意味づけが行なわれる。

**§2. 相対拡散模型** はじめの例として拘束されない粒子で速度が無数の「微小な」ランダムな衝撃に支配されるような現象の(1次元)の運動を考

- < Relative Diffusion Model >
- (1)  $dU(t) = dB(t)$
  - (2)  $U(t) = U(0) + \int_0^t dB(\theta)$   
 $U(0) \equiv u_0$
  - (3)  $X(t) = X(0) + \int_0^t U(\theta) d\theta$   
 $X(0) \equiv x_0$

の(1次元)の運動を考える。 $U(t)$ を粒子の速度、 $B(t)$ を平均ゼロ分散有限の正規加法過程(プラウン運動)とすれば、これらを結ぶ確率方程式は(1)で表わされる。これを積分すれば(2)を得られるが、ここで $\alpha$ の積分は確率積分を意味する。速度の積分より粒子の位置を示す $X(t)$ が(3)のように求められる。ここに $\alpha$ は  $dB(t)/dt$  の Langevin 方

- (4)  $E\{U(t)\} = u_0$
- (5)  $Var\{U(t)\} = \alpha \cdot t$
- (6)  $E\{X(t)\} = x_0 + u_0 \cdot t$
- (7)  $M(i\phi, i\psi) = \langle \exp[i\phi U(t) + i\psi U(t)] \rangle$
- (8)  $\ln\{M(i\phi, i\psi)\} = x_0 + u_0(i\phi + u_0(i\psi + i\phi t))$  か(4)と(5)のように求められる。ここに $\alpha$ は  $dB(t)/dt$  の Langevin 方
- (9)  $Cov\{X(t), U(t)\} = \alpha/2 \cdot t^2$
- (10)  $Var\{X(t)\} = \alpha/3 \cdot t^3$
- (11)  $\frac{\partial M}{\partial t} = i\phi \cdot \frac{\partial M}{\partial i\psi} + \frac{\alpha}{2} (i\psi)^2 \cdot M$
- (12)  $\frac{\partial C}{\partial t} + u_0 \frac{\partial C}{\partial x} = \frac{\alpha}{2} \frac{\partial^2 C}{\partial u^2}$
- (13)  $D(t) = \frac{1}{2} \cdot \frac{\partial}{\partial t} [Var\{X(t)\}]$   
=  $Cov\{X(t), U(t)\}$   
=  $Var\{X(t)\}^{1/2}$
- (14)  $c(x, u) = \frac{\exp\left\{-\frac{u^2}{2at} - \frac{6(x-ut/2)^2}{at^3}\right\}}{\pi/\sqrt{3} \cdot at^2}$   $\frac{\exp\left\{-\frac{2}{at} \left(u - \frac{3x}{2t}\right)^2 - \frac{3x^2}{2at^3}\right\}}{\pi/\sqrt{3} \cdot at^2}$  の関係を特性関数に関する微分方程式で書けば(11)で表わされ、同時確率密度  $c(x, u)$  についての逆相空間における連続方程式が(12)のように見出される。次に分散係数は(13)で示される

FIG.1  $Var\{U(t)\}$  from (5) & (22)FIG.2  $Cov\{X(t), U(t)\}$  (9) & (23)

ように位置の標準偏差の  $4/3$ 乗に比例し、このことより相対拡散模型が構成されたこと分かる。 $X(t)$  と  $U(t)$  の同時確率密度は(14)となり、これは常に直角方向の流速分布が  $u = v = 0$  であるような場における  $x$  方向の拡散を

< Ornstein-Uhlenbeck Process > 無視した拡散方程式の解と同じもの

$$(15) dU(t) + \beta \cdot U(t) \cdot dt = dB(t)$$

$$(16) V(t) = U(t) \cdot \exp(\beta \cdot t)$$

$$(17) dV(t) = \exp(\beta \cdot t) \cdot dB(t)$$

$$(18) V(t) = u_0 + \int_0^t \exp(\beta \cdot \theta) \cdot dB(\theta)$$

$$(19) E\{U(t)\} = u_0 \cdot \exp(-\beta \cdot t)$$

$$(20) E\{X(t)\} = x_0 + \frac{u_0}{\beta} [1 - \exp(-\beta t)]$$

$$(21) \ln\{M(i\phi, i\psi)\} = x_0 \cdot (i\phi) + u_0 \cdot \{i\psi \exp(-\beta t) + \frac{1 - \exp(-\beta t)}{\beta / (i\phi)}\} + \frac{\alpha}{2} \int_0^t \{i\psi \exp[-\beta(t-\theta)] + \frac{1 - \exp[-\beta(t-\theta)]}{\beta / (i\phi)}\}^2 d\theta = u_0 \cdot \{i\psi \exp(-\beta t) + \frac{1 - \exp(-\beta t)}{\beta / (i\phi)}\} + \frac{\alpha}{4\beta} (i\psi - \frac{i\phi}{\beta})^2 \cdot [1 - \exp(-2\beta t)] + \frac{\alpha}{\beta^2} (i\psi - \frac{i\phi}{\beta}) i\phi [1 - \exp(-\beta t)] + \frac{\alpha}{2\beta^2} (i\psi)^2 t + x_0 (i\phi)$$

$$(22) \text{Var}\{U(t)\} = \frac{\alpha}{2\beta} [1 - \exp(-2\beta t)]$$

$$(23) \text{Cov}\{X(t), U(t)\} = \alpha / 2\beta^2 \cdot [1 - \exp(-\beta t)]^2$$

$$(24) \text{Var}\{X(t)\} = \alpha / 2\beta^3 \cdot [2\beta t - 3 + 4\exp(-\beta t) - \exp(-2\beta t)]$$

$$(25) \frac{\partial M}{\partial t} = (i\phi - \beta i\psi) \frac{\partial M}{\partial i\psi} + \frac{\alpha}{2} (i\psi)^2 M$$

$$(26) \frac{\partial c}{\partial t} + u \frac{\partial c}{\partial x} = \beta \frac{\partial}{\partial u} (uc) + \frac{\alpha}{2} \frac{\partial^2 c}{\partial u^2}$$

in FIG.4 :  $U_m = 6BL$ ,  $\alpha = 2\beta^3 L^2$

< Power Spectrum of Velocity >

$$(27) S(\omega) = \frac{\alpha}{\omega^2 + \beta^2} \sim \frac{\alpha}{\omega^2}$$

< Autocorrelation of Velocity >

$$(28) R(\tau) = \frac{\alpha}{2\beta} \exp(-\beta|\tau|) \sim -\frac{\alpha}{2} |\tau|$$

である。そしてこの分散雲加平均流速  $U_m$  で移動したときの固定 6 点での観測例を FIG.4 の破線で示す。分散雲の拡散速度が移動速度よりも大きく、正規分布の形状から非常に歪んだ濃度時間曲線となっている。

### §3. Ornstein-Uhlenbeck 過程

次に粒子の速度に比例するような抵抗と不規則な慣性力を同時に受ける運動をヒリ上げる。この運動は (15) のような確率微分方程式 (Langevin 方程式) で表現される。ここで (16) を用いて  $U(t)$  から  $V(t)$  へ書き換えると、(15) は (17) となり  $V(t)$  は形式的に (18) で表わされる。従って速度の平均は (19) で、位置の平均は (20) の

ように見出される。そして前節と類似の計算によってキュムラント分散が得られる。よって速度の分散が (22) で、位置と速度の共分散が (23) で、及び位置の分散が (24) と求められる。この現象は  $\beta t \ll 1$  のとき相対拡散模型で表わされ、 $\beta t \gg 1$  になると分散係数が一定の Fick 型の拡散現象に漸近する。 $1/\beta$  は Lagrange の積分時間である。これらの変化の状態が FIG.1~3 により示されている。また特性関数についての微分方程式が (25) で表わされ、同時確率密度に関する方程式が (26) のように得られる。そして位置と速度の同時確率密度は二次元正規分布となり、この分散雲が平均流速  $U_m$  で移動したときの固定 6 点での平均濃度の経時変化が FIG.4 の実線で示す。図では分散係数が一定に近い領域となる。つまり正規曲線に漸近している。

**§4. スペクトルと相關関数** 前節の O-U 過程で表わされる速度の Lagrange スペクトルは (27) のように見出される。 $\beta \rightarrow 0$  のときこのスペクトルは波数の -2 乗に比例する。また速度の自己相關関数はマルコフ型の指數関数 (28) で示され、O-U 過程の特徴を表現している。

X=12L

**§5. たゞぐ** 流体粒子の速度が N-L 過程と O-U 過程に従う場合について、拡散現象と確率論の面から解析し、前者では位置の分散が経過時間の 3 乗に比例し、相対拡散模型が構成され、後者の場合マルコフ型の速度相関を有し、初期の状態は前者の模型となり、終末では分散係数一定の正規拡散に漸近する。また Lagrange スペクトルと相關関数が示された。

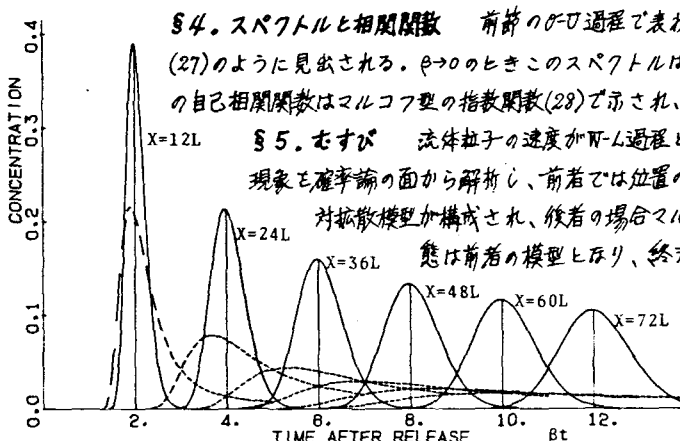


FIG.4 CHANGE OF CONCENTRATION AT FIXED POINT (ORNSTEIN-UHLENBECK PROCESS AND RELATIVE DIFFUSION)

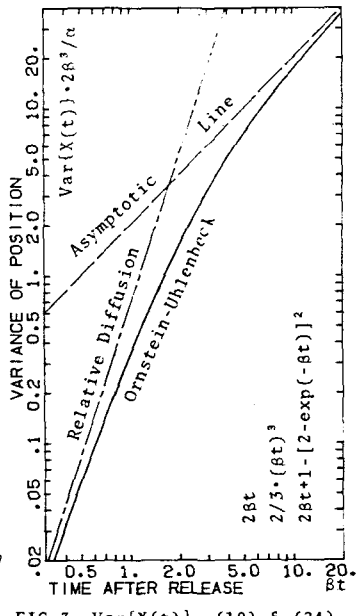


FIG.3  $\text{Var}\{X(t)\}$  (10) & (24)

### 参考文献

- 津村他訳「確率過程入門」東京大学出版社  
平岡他訳「応用確率論」東海大学出版社  
堀淳一著「ランジュバン方程式」岩波書店  
佐藤平八訳「フーリエ解析」森北出版